

استفاده از روش معکوس برای طراحی حرارتی یک اتاق مسکونی، به منظور ایجاد شرایط آسایش حرارتی

غلامرضا ایمانی (دانشجوی کارشناسی ارشد)

مهدي هعرفت (دانشیار)

دانشکده فنی، گروه هندسی مکانیک، دانشگاه تربیت مدرس

فرشاد گوهری (دانشیار)

دانشکده فنی، گروه هندسی مکانیک، دانشگاه تهران

سیدعلیرضا ذوقفاری (دانشجوی دکتری)

دانشکده فنی، گروه هندسی مکانیک، دانشگاه تربیت مدرس

در تحقیق حاضر از روشی جدید برای طراحی حرارتی محیط زندگی انسان استفاده شده است. هدف این تحقیق استفاده از روش معکوس برای تعیین دمای دیوارها و دمای هوای یک اتاق مسکونی یک نفره به منظور ایجاد شرایط آسایش حرارتی^۱ است. این روش را که با یک سیستم معادلات بدوضع^۲ توصیف می‌شود، «مدل سازی معکوس»^۳ می‌نامند. در این کار برای خوش وضع^۴ کردن دستگاه معادلات ذکر شده از روش «نمذم سازی تیخونوف»^۵ استفاده شده است. استفاده از روش معکوس منجر به تعیین شرایط مطلوب حرارتی (دمای دیوارها و دمای هوای) در اطراف شخص شده و این شرایط، با قیود خطای و یکنواختی تعیین شده، دما و شار مورد نیاز روی بدن شخص را برای ماندن در محدوده حرارتی مطلوب ایجاد می‌کند. نتایج حاکی از آن است که جواب‌های حاصل از روش معکوس، علاوه بر برقراری شرایط آسایش حرارتی در سرتاسر فضای مسکونی، مشکلاتی از قبیل نارضایتی ناشی از پدیده‌ی تابش نامتقارن را نیز ندارند.

gholamrezaime@gmail.com
maerefat@modares.ac.ir
fkowsari@ut.ac.ir
a.zolfaighari@modares.ac.ir

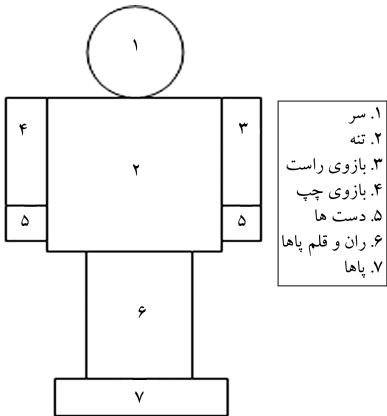
واژگان کلیدی: طراحی حرارتی معکوس، بدن انسان، اتاق مسکونی، انتقال حرارت جابه‌جایی آزاد، انتقال حرارت تابشی، آسایش حرارتی.

مقدمه

چریان هوای به عنوان معیار طراحی حرارتی ساختمان در نظر گرفته می‌شود، اما در سیستم‌های تابشی باید دمای تمام سطوح کنترلی اطراف شخص به عنوان مبنای طراحی لحاظ شود. هرچه تعداد این سطوح افزایش یابد، طراحی حرارتی ساختمان به روش مستقیم با دشواری بیشتری مواجه خواهد شد. در روش‌های معمول طراحی که «روش‌های طراحی مستقیم»^۶ نامیده می‌شوند، فرایند طراحی مبتنی بر تخمین اولیه‌ی پارامترهای قابل کنترل سیستم است. پس از آن، احساس حرارتی^۷ افزاد تحت شرایط مذکور محاسبه شده و اگر طراحی انجام شده مناسب نباشد، فرایند حدس و خطأ تا رسیدن به طراحی مورد نظر ادامه می‌یابد.^[۱] از این رو، در شرایطی که تعداد پارامترهای کنترلی سیستم زیاد باشد، انجام محاسبات در روش‌های طراحی مستقیم بسیار زمان بر است. در این شرایط، استفاده از روش‌های طراحی معکوس^۸ تأثیر چشمگیری بر کاهش زمان محاسبات خواهد داشت. اگرچه استفاده از روش طراحی معکوس، سال‌هاست که در حل مسائل مختلف به کار گرفته شده است، ولی استفاده از این روش برای طراحی حرارتی محیط اطراف انسان، برای اولین بار

به طور کلی می‌توان سیستم‌های تهويه مطبوع در ساختمان‌ها را به دو دسته: سیستم‌های جابه‌جایی و سیستم‌های تابشی تقسیم کرد.^[۱] در سیستم‌های جابه‌جایی، دمای هوای مبنای طراحی حرارتی ساختمان قرار می‌گیرد و تأسیسات گرمایشی و سرمایشی چنان طراحی می‌شوند که دمای هوای مطلوب برای ساکنان را فراهم کنند. در چنین سیستم‌هایی عمدتی انتقال حرارت بدن افراد با محیط از طریق سازوکار جابه‌جایی صورت می‌گیرد. در مقابل، سیستم‌های تابشی سیستم‌هایی هستند که با گرم یا سرد کردن سطوح اطراف ساکنان، حرارت مناسب را برایشان فراهم می‌کنند. در چنین سیستم‌هایی به جای کنترل دمای هوای دمای سطوح در برگردانده شخص مبنای طراحی قرار می‌گیرد. براین اساس، در این سیستم‌ها سازوکار تابش نقشی اساسی در تبادل حرارت میان افراد با محیط ایفا می‌کند.^[۲]

در سیستم‌های تهويه مطبوع با سازوکار جابه‌جایی، تنها دو پارامتر دما و سرعت



شکل ۱. تقسیم‌بندی سطح بدن به قسمت‌های اصلی.

جدول ۱. شرایط آسایش حرارتی روی سطح بدن^[۲] و ضرایب انتقال حرارت جابه‌جایی موضعی.^[۱۲]

کف	سر	تنه	چپ	راست	بازوی	بازوی	دست‌ها	پاها	پاها
دما (°C)	۳۰,۶	۲۹,۳	۳۵,۹	۳۶,۱	۲۷,۸	۲۷,۴	۲۷,۹	۲۷,۸	۲۷,۹
شار حرارتی (Wm⁻²)	۴۹,۹	۳۷,۸	۹۶,۱	۱۰۳,۷	۳۰,۰	۲۸,۱	۳۶,۷	۱۰۳,۷	۳۷,۸
$h_i (\text{Wm}^{-2}\text{k}^{-1})$	۴,۶۴	۳,۱۳	۴,۴۹	۳,۷۶	۳,۵۹	۲,۵۲	۳,۷۶	۴,۴۹	۳,۱۳

این بخش‌ها، از تحقیقات دیگر محققین استخراج شده^[۲] و به همراه ضرایب انتقال حرارت جابه‌جایی موضعی برای بخش‌های مذکور^[۱۲] در جدول ۱ آمده است.

فرمول‌بندی ریاضی مسئله

مدل‌سازی ریاضی در این مسئله، نوشتمن معادله‌ی تعادل حرارتی برای هر کدام از بخش‌های بدن را شامل می‌شود. برای این منظور، معادلات مربوط به انتقال حرارت جابه‌جایی و تابشی روی بدن شخص چنین نوشته می‌شود:^[۱۳]

$$Q_{i,rad} = \sum_{j=1}^N S_i \varepsilon_i B_{ij} \sigma \left(T_i^* - T_j^* \right) \quad (1)$$

$$Q_{i,conv} = S_i h_i (T_i - T_{AIR,i}) \quad (2)$$

اتلاف حرارت کل از هر قسمت بدن، به صورت مجموع انتقال حرارت جابه‌جایی و تابشی است:

$$Q_i = Q_{i,rad} + Q_{i,conv} \quad (3)$$

برای مدل‌کردن انتقال حرارت تابشی، از روش «ضرایب جذب»^[۱۱] استفاده شد. ضرایب جذب (B_{ij}) از ترکیب ضرایب دید و ضرایب انتشار سطوح، با حل دستگاه معادلات خطی^[۱۲] به دست می‌آید:^[۱۴]

$$B_{ij} = \varepsilon_j F_{ij} + \sum \rho_k F_{ik} B_{kj}, \quad i = 1, 2, \dots, N \quad (4)$$

به‌طوری که $\varepsilon_j F_{ij}$ کسری از شار تابشی منتشره از سطح زام است که به‌طور مستقیم توسط سطح زام جذب می‌شود؛ $\sum_{k=1}^N \rho_k F_{ik} B_{kj}$ نیز کسری از شار تابشی منتشره نشان داده شده است. همچنین توزیع دما و شار حرارتی مطلوب برای هر کدام از

در سال ۲۰۰۴ مطرح شد.^[۲] از این روش به‌منظور طراحی شرایط آسایش حرارتی برای سرنشین خودرو استفاده شد. با این وجود هنوز گزارشی مبنی بر استفاده از روش طراحی معکوس برای طراحی حرارتی یک اتاق مسکونی در دست نیست.

در نوشتار حاضر، سعی شده است که با تکیه بر تحقیقات قبلی،^[۲] پارامترهای حرارتی یک اتاق مسکونی دارای سیستم تابشی چنان طراحی شود که شرایط آسایش حرارتی برای افراد داخل اتاق فراهم شود. برای این منظور، از نوعی روش طراحی معکوس برای طراحی حرارتی فضای مسکونی استفاده می‌شود. در روش معکوس به جای فرایند حدس و خطأ در پارامترهای طراحی، شار حرارتی لازم برای بخش‌های مختلف بدن به‌منظور دست‌یابی به شرایط آسایش حرارتی به عنوان معیار طراحی در نظر گرفته می‌شود و سپس با استفاده از یک الگوریتم معکوس و بدون حدس و خطأ، پارامترهای طراحی به‌گونه‌یی تعیین می‌شوند که توزیع دما و شار تعیین شده روی بدن شخص را با دقت مورد نظر ایجاد کنند. از آنجا که در این روش شار حرارتی لازم برای بخش‌های مختلف بدن نیاز است، باید از ترتیب تجربی موجود در این زمینه استفاده کرد.^[۲] البته باید توجه داشت که استفاده از روش‌های معکوس منجر به تولید دستگاه معادلاتی می‌شوند که به‌شدت بدوضوع‌اند به‌طوری که برای رسیدن به یک جواب مفید از این دستگاه معادلات، از روش‌های منظم‌سازی استفاده می‌شود.^[۵]

اولین بار محققین از یک روش منظم‌سازی برای طراحی تابشی معکوس محفظه‌یی با سطح خاکستری استفاده کردند.^[۶] پس از آن افراد زیادی با استفاده از روش‌های معکوس مختلف، مسئله‌ی انتقال حرارت تابشی درون یک محفظه را مورد بررسی قرار دادند.^[۹-۷]

در تحقیق حاضر در نظر داریم با استفاده از روش معکوس، شرایط حرارتی (دماهی دیوارها و دمای هوا) در یک اتاق مسکونی با سیستم تابشی را به‌گونه‌یی طراحی کنیم که شرایط حرارتی از پیش تعیین شده روی سطح بدن شخص مستقر در اتاق برآورده شود.

فضای نمونه

در تحقیق حاضر، به‌منظور استفاده از روش معکوس در طراحی دمای فضای مسکونی، اتاقی مکعب‌مستطیل شکل با طول ۲,۹۵، عرض ۲,۹۵ و ارتفاع ۲,۴ متر به عنوان فضای نمونه در نظر گرفته شد. ضرایب دید بخش‌های مختلف بدن یک شخص نشسته نسبت به یکدیگر، و نیز نسبت به سطوح جانبی اتاق از ترتیب تحقیقات انجام‌شده‌ی قبلی^[۱۰] در شرایط مشابه استخراج شده است. ضرایب صدور و انعکاس همه‌ی سطوح، ثابت و به‌ترتیب برابر با $0.9/0.9$ است. با این فرض که از سیستم تهویه‌ی مطبوع تابشی (سرمایشی یا گرمایشی) برای برقراری آسایش حرارتی ساکنان استفاده شود، باید دمای سطوح جانبی اتاق (۶ سطح) و نیز دمای هوا به عنوان پارامترهای طراحی لحاظ شود. مطابق استاندارد انجمان تأسیساتی آمریکا^[۹] در سیستم‌های تابشی سرعت جریان هوا ناچیز و حدود 0.15 m/s است.^[۱۱] در این شرایط می‌توان ضریب جابه‌جایی حرارت را برای بدن و نیز سطوح اتاق ثابت فرض کرد.^[۱۱] همچنین میران رطوبت نسبی 50% و طبق استاندارد، متوسط میران مقاومت حرارتی 1° پوشش افراد در فضاهای مسکونی حدود $W/\text{m}^2\text{K} = 125$ و نیز آهنگ سوخت‌وساز افراد در شرایط استراحت حدود 58 W/m^2 است.^[۱۱] در تحقیق حاضر، سطح بدن به هفت بخش اصلی – سر، تنہ، بازوی چپ، بازوی راست، پاها، و کف پاها – تقسیم شده است که شمایی نمادین از این تقسیم‌بندی در شکل ۱ نشان داده شده است. همچنین توزیع دما و شار حرارتی مطلوب برای هر کدام از

بسیاری توسط افزاد مختلف ارائه شده است^[۱۵] ولی از آنجا که روش منظم‌سازی تیخونوف در مقایسه با سایر روش‌ها، مستلزم زمان محاسباتی کم‌تری است، در اینجا از روش منظم‌سازی تیخونوف مرتبه اول^[۱۶] برای حل مسئله استفاده شده است.

تابع هدف (ϕ) در این روش چنین تعریف می‌شود:

$$\phi(E) = \left(\|AE - b\|_2^2 + \alpha \|L(E - E^*)\|_2^2 \right) \quad (8)$$

به طوری که E حدس اولیه برای بردار جواب است که در ادامه‌ی کار برابر صفر فرض می‌شود. ماتریس L تقریب گسته از عملگر مشتق مرتبه اول و α پارامتر منظم‌سازی تیخونوف مرتبه اول هستند. ماتریس L یک ماتریس دوقطبی است که چنین تعریف می‌شود:

$$L = \begin{bmatrix} -1 & 1 & 0 & . & . & . & 0 \\ 0 & -1 & 1 & 0 & . & . & 0 \\ . & . & . & . & . & . & . \\ . & . & 0 & . & 1 & 0 & . \\ . & . & . & 0 & -1 & 1 & . \\ 0 & . & . & 0 & . & . & -1 \\ . & . & . & . & . & . & . \end{bmatrix} \quad (9)$$

برای کمینه‌کردن تابع هدف ϕ از طرفین رابطه‌ی ۸ بر حسب بردار E یک بار مشتق می‌گیریم و رابطه‌ی حاصله را برابر صفر قرار می‌دهیم:

$$\frac{\partial \phi^{set}}{\partial E} = 0 \quad (10)$$

با اعمال مشتق‌گیری معادله‌ی ۱۰، رابطه‌ی نهایی به صورت معادله‌ی ۱۱ به دست می‌آید:

$$(A^T A + \alpha L^T L) E = A^T b \quad (11)$$

دستگاه معادله‌ی ۱۱ یک دستگاه معادله‌ی خوش‌وضع بوده که با روش‌های معمول حل دستگاه معادلات، قابل حل است. به طوری که α وزن جمله‌ی خطای عمدی است که آگاهانه برای پایدارکردن مسئله وارد شده است. بنابراین انتخاب مطلوب به‌گونه‌ی‌ی که هم مسئله پایدار شود و هم جواب‌ها از دقت مناسبی برخوردار باشند قسمت مهمی از آنالیز معکوس را به خود اختصاص می‌دهد. این کار در بخش بعد و با تعریف دو قید برای مسئله انجام می‌شود.

۲. درجه‌ی دقت و یکنواختی حل

(الف) دقت حل

یکی از موارد مهمی که در حل به روش معکوس باید مورد توجه قرار گیرد، درجه‌ی دقت و یکنواختی حل است. پارامتر دقت حل، به صورت قدر مطلق اختلاف شار حرارتی تعیین شده روی هر قسمت بدن و شار حرارتی محاسبه شده از طریق آنالیز معکوس تعریف شده است:

$$\eta_i = |q_{i,direct} - q_{i,inverse}| \quad (12)$$

برای راحتی کار، بیشینه‌ی مقادیر فوق به عنوان معیاری برای دقت حل انتخاب شد. برای دقت حل یک قید به صورت $\eta = 8Wm^{-2}$ در نظر گرفته شد که نسبت به کارهای انجام‌شده‌ی پیشین، از دقت بالاتری برخوردار است.^[۱۷] با انتخاب قید اخیر، جواب‌های حاصله با شرط $\eta < \eta_{max}$ مورد قبول‌اند.

از سطح نام است که از طریق انعکاس توسط سطوح دیگر به سطح زام رسیده است. همچنین μ ضریب انعکاس سطوح است که به صورت $\varepsilon_k - 1 = \rho_k$ نوشته می‌شود N تعداد کل سطوح، شامل قسمت‌های مختلف بدن و سطوح اتاق است.

دستگاه معادلات

به طور کلی سطوح موجود در این مسئله به دو گروه تقسیم می‌شوند:

۱. سطوح تشکیل‌دهنده بدن، که روی آن‌ها دو شرط مرزی دما و شار حرارتی مشخص است و به عنوان سطوح طراحی یا DS^[۱۸] نام‌گذاری می‌شوند.

۲. سطوح اتاق که هیچ‌گونه شرط مرزی روی آن‌ها مشخص نیست و سطوح مجھول یا NS^[۱۹] نامیده می‌شوند.

برای تشکیل دستگاه معادلات، معادله‌ی تعادل حرارتی روی سطوح DS به صورت معادله‌ی ۵ نوشته می‌شود:

$$q_i = \varepsilon_i \sigma T_i^* - \sum_j^{N_{DS}} \varepsilon_i B_{ij} \sigma T_{DS,i}^* - \sum_j^{N_{NS}} \varepsilon_i B_{ij} \sigma T_{NS,j}^* + h_i (T_i - T_{AIR,i}) \quad (5)$$

که با تفکیک معلومات و مجھولات از هم، می‌توان آن را مطابق معادله‌ی ۶ بازنویسی کرد:

$$- \sum_j^{N_{NS}} \varepsilon_i B_{ij} \sigma T_{NS,j}^* - h_i T_{AIR,i} = q_i - \varepsilon_i \sigma T_i^* + \sum_j^{N_{DS}} \varepsilon_i B_{ij} \sigma T_{DS,j}^* - h_i T_i \quad (6)$$

در ادامه، توزیع دمای مجھول‌ها در اتاق یکنواخت فرض شد. با بسط معادله‌ی ۶ برای هر کدام از قسمت‌های بدن، دستگاه معادله‌ی ۷ حاصل می‌شود:

$$AE = b \quad (7)$$

به طوری که A ماتریس ضرباب، شامل اطلاعات هندسی و خصوصیات تابشی است، b بردار معلومات است که با توجه به معلوم بودن دو شرط مرزی دما و شار روی سطوح DS تشکیل می‌شود، و درنهایت E بردار جواب است که شامل دمای مجھول‌ها و توان گسیل مجھول مربوط به سطوح NS است. نکته‌ی قابل توجه آن است که به جای در نظر گرفتن دمای سطوح اتاق به عنوان مجھولات، برای سهولت حل دستگاه معادلات، توان گسیل جسم سیاه^[۲۰] این سطوح به عنوان مجھول در نظر گرفته شده است.

توصیف روند حل

۱. حل دستگاه معادلات به روش منظم‌سازی

از آنجا که دستگاه معادله‌ی ۷ از نظر ریاضی بدوضوع است، بنابراین جواب‌های این دستگاه به شرایط ورودی بسیار حساس است. برای حل این مشکل از روش‌های منظم‌سازی برای رسیدن به جواب‌های مفید استفاده می‌شود. روش‌های منظم‌سازی

محاسبه‌ی شاخص احساس حرارتی افراد از مدل استاندارد فنگر استفاده می‌شود. در مدل فنگر، معادله‌ی بالا انس انزوی برای بدن در شرایط پایا نوشته می‌شود و اختلاف میان تولید و اتلاف حرارت بدن، به عنوان عاملی تعیین‌کننده در شرایط حرارتی بدن تعریف می‌شود:^[۲۱]

$$PMV = [(M - W) - \frac{25,7 - 0,0275(M - W) - t_o}{R_t} - \\ 3,05(5,73 - 0,007(M - W) - p_a) - 0,0173M \\ (5,87 - p_a - 0,0014M(34 - t_{AIR})) - 0,42 \\ (M - W - 58)](0,303 \exp(-0,036M) + 0,028) \quad (14)$$

که در آن M آهنگ سوخت و ساز، W کار انجام‌شده توسط شخص، R_t مقاومت حرارتی کلی پوشش شخص و p_a فشار بخار هوا است. همچنین t_o نمایان‌گر دمای کارکرد است و از رابطه‌ی ۱۵ قابل محاسبه است:

$$t_o = \frac{ht_{AIR} + h_r\bar{t}_r}{h + h_r} \quad (15)$$

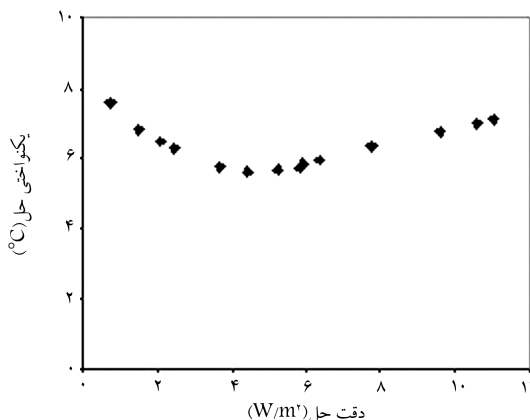
که در آن h و h_r به ترتیب ضرایب انتقال حرارت جایه‌جایی و تابشی و \bar{t}_r دمای متوسط تابش است.

شاخص PMV بیان‌گر احساس حرارتی افراد بوده و مقدار آن بین -۳ تا ۳ است که هر عدد صحیح بین این دو مقدار معادل یک احساس مشخص حرارتی است، به طوری که =۳ خیلی گرم، =۲ گرم، =۱ کمی گرم، =۰ خشنی، =-۱ کمی سرد، =-۲ سرد، =-۳ خیلی سرد.^[۱۱]

نتایج و بحث

۱. بررسی دقت و یکنواختی حل

چنان که پیش تر گفته شد، درجه‌ی دقت و یکنواختی حل از مهم‌ترین پارامترهای هستند که در حل معکوس باید مورد توجه قرار گیرند. شکل ۲ تغییرات پارامتر یکنواختی حل δ را بر حسب پارامتر دقت حل (η)، برای مقادیر مختلف پارامتر منظم‌سازی α نمایش می‌دهد. هریک از نقاط روی نمودار، نشان‌گر یک جواب دستگاه معادلات است. چنان که در شکل ۲ نشان داده شده است، نمودار یکنواختی بر حسب دقت، یک نقطه‌ی بهینه دارد که در آن حل موردنظر با دقت $4,4 \text{ W m}^{-2}$ و یکنواختی $5,6^\circ C$ بهترین جواب ممکن از نظر ارضاء هم‌زمان دو قید اخیر



شکل ۲. دقت حل η بر حسب یکنواختی حل δ .

به منظور استفاده‌ی عملی از نتایج حل معکوس در طراحی حرارتی محیط، لازم است اختلاف بین دمای‌های محاسبه‌شده برای سطوح اتاق و نیز دمای‌ها از یک حد مجاز فراتر نباشد. برای رسیدن به این منظور، از عملگر مشتق مرتبه اول (L) برای یکنواختی پیشتر حل استفاده می‌شود. این عملگر اندازه‌ی اختلاف بین دمای را کنترل می‌کند تا از حد مجاز بیشتر نشوند. برای کمیت بخشیدن به مفهوم یکنواختی حل، پارامتر δ به عنوان انحراف معیار استاندارد دمای‌های محاسبه شده، شامل دمای دیوارهای اتاق و همین طور دمای هوا تعریف می‌شود. براین اساس، $C = 8^\circ C$ به عنوان مرجعی برای یکنواختی حل لحاظ می‌شود.^[۲۲] از آنجا که بهمازی هر مقدار پارامتر منظم‌سازی تنها یک جواب برای مسئله وجود دارد، استفاده از روش منظم‌سازی منجر به جواب یکنواختی نمی‌شود. به همین دلیل با تعریف دو قید فیزیکی فوق سعی شد که با یافتن پارامتر منظم‌سازی مطلوب براساس ارضاشدن دو قید اخیر، یک جواب مطلوب برای دستگاه معادلات به دست آمده ارائه شود.

۳. تحلیل جواب‌های حاصل از حل معکوس به لحاظ شرایط آسایش حرارتی

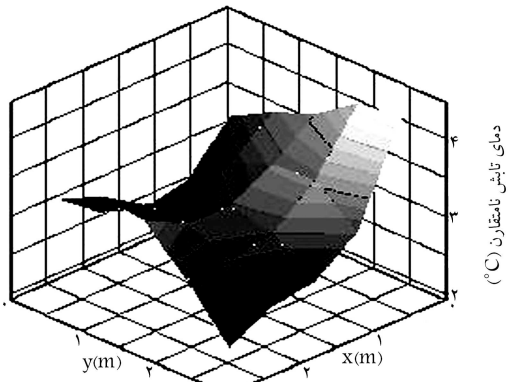
پس از این که با استفاده از روش معکوس یک دسته جواب مطلوب حاصل شد، بررسی اثرات برخی از عوامل ایجاد نارضایتی افراد که در حل معکوس لحاظ نشده ضرورت می‌باشد. در این بخش اثرات پارامتر تابش نامتقارن و نیز تأثیر محل نشستن افراد در اتاق بر حرارتی که احساس می‌کنند بررسی خواهد شد.

یکی از مهم‌ترین عوامل ایجاد نارضایتی حرارتی «تابش نامتقارن» است.^[۱۷] تابش نامتقارن می‌تواند باعث نارضایتی موضعی در افراد شود. اولین بار در سال ۱۹۸۵، محدودیت تابش نامتقارن برآسایش حرارتی افراد درون یک اتاق به صورت تجربی مورد بررسی قرار گرفت^[۱۸] و نتیجه‌ی آن به صورت نمودارهایی از درصد نارضایتی^[۱۷] افراد تحت آزمایش برحسب دمای تابش نامتقارن، برای دیوار و سقف سرد و گرم ارائه شد. نارضایتی ناشی از تابش نامتقارن هنگامی مطرح می‌شود که دمای متوسط تابش در دو طرف یک المان فرضی در اتاق از حد مجاز فراتر رود. دمای متوسط تابش در هر طرف یک المان را اصطلاحاً «دمای تابش صفحه‌یی»^[۱۸] می‌نامند و طبق تعریف عبارت است از:

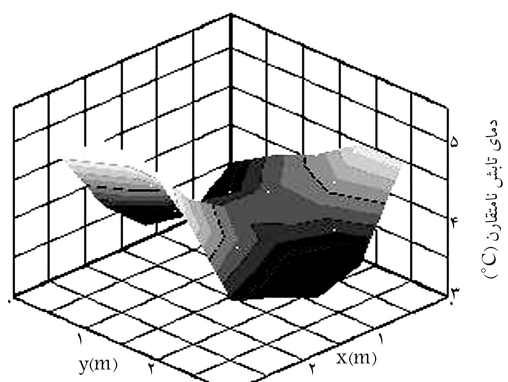
$$T_{pr} = \sqrt{\sum_k F_{dA-k} T_k^*} \quad (13)$$

که در آن T_k دمای سطوح اتاق k ، و F_{dA-k} ضریب دید یک طرف المان به سطوح اتاق است. دمای تابش نامتقارن^[۱۹] در یک محفظه در جهتی خاص، به صورت اختلاف دمای تابش صفحه‌یی در دو طرف یک المان کوچک عمود بر جهت مورد نظر تعریف می‌شود. طبق استانداردهای آسایش حرارتی و با درنظر گرفتن نارضایتی حداقل ۵ درصدی افراد (طبق استاندارد ISO)،^[۱۹] دمای تابش نامتقارن نیاید بیشتر از $4^\circ C$ شود^[۲۰] که البته این مقدار مربوط به بحرانی ترین شرایط نارضایتی افراد (صفق گرم) است.

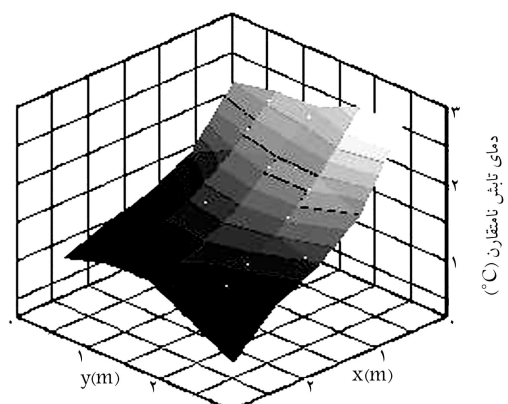
پس از بررسی تابش نامتقارن، پارامتر دیگری که باید مد نظر قرار گیرد، تأثیر محل نشستن افراد در نقاط مختلف اتاق بر احساس حرارتی آن‌ها است. در روش معکوس، حل براساس ایجاد شرایط حرارتی مطلوب برای شخص مستقر در وسط اتاق انجام گرفت ولی نکته‌یی که باید بررسی شود این است که آیا برای سایر نقاط استقرار افراد در اتاق نیز شرایط آسایش حرارتی برقرار خواهد بود یا خیر. به منظور بررسی این امر، شاخص احساس حرارتی افراد در سراسر اتاق محاسبه می‌شود. برای



الف) ارضی همزمان قبود دقت و یکنواختی؛



ب) ارضی قید دقت؛



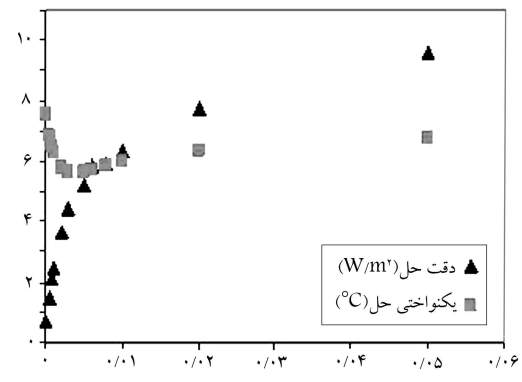
ج) ارضی همزمان قبود دقت، یکنواختی و کمترین تابش نامتقارن از سقف گرم.

شکل ۴. توزیع تابش نامتقارن از سقف گرم برای طراحی ارائه شده.

است. در شکل ۳ روند تغییرات پارامترهای دقت و یکنواختی حل بر حسب پارامتر منظم‌سازی، با جزئیات بیشتر ارائه شده است. چنان‌که مشاهده می‌شود، پارامتر دقت حل با افزایش پارامتر منظم‌سازی، روند کاهشی از خود نشان می‌دهد؛ این در حالی است که پارامتر یکنواختی حل بر حسب پارامتر منظم‌سازی، یک نقطه‌ی مطلوب دارد. با استفاده از این واقعیت دیده می‌شود که اگر صرفاً قید دقت حل را مد نظر قرار دهیم و از قید یکنواختی حل صرف نظر کنیم، با حل مطلوب براساس قید دقت، دست‌یابی به جواب‌هایی با دقت 6 Wm^{-2} نیز امکان‌پذیر است. نتایج محاسبه‌شده دمای دیوارها و دمای هوای مربوط به حل مطلوب با دو قید دقت و یکنواختی حل و نیز حل مطلوب فقط با قید دقت، در جدول ۲ ارائه شده است. همان‌طور که در جدول ۲ مشاهده می‌شود، دمای دیوارها و دمای هوای به دست آمده، در محدوده‌ی فیزیکی قابل قبول برای طراحی قرار دارد و می‌تواند به عنوان پیش‌طرحی مناسب برای طراحی حرارتی یک اتاق مسکونی به کار گرفته شود.

۲. بررسی میزان نارضایتی ناشی از تابش نامتقارن

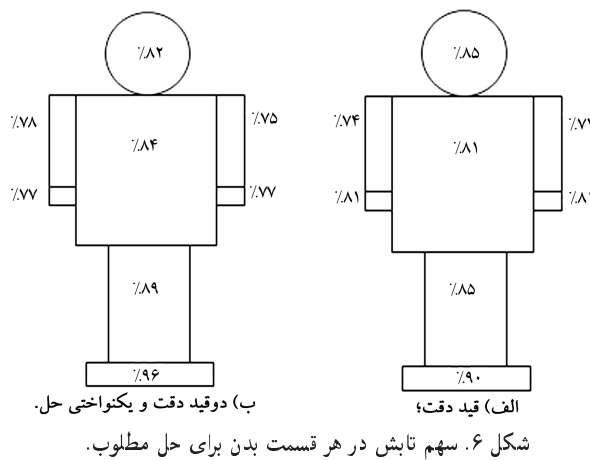
در تحقیق حاضر طرح‌های ارائه شده با اعمال قبود دقت و یکنواختی حل، که در جدول ۲ قابل مشاهده است، از نظر احتمال ایجاد تابش نامتقارن از سقف گرم مورد بررسی قرار گرفتند. بدین منظور تابش نامتقارن از سقف گرم برای مکان‌های مختلف نشستن شخص در کف اتاق محاسبه شد که نتایج حاصله به صورت توزیع تابش نامتقارن از سقف گرم روی کف اتاق در شکل‌های ۴ الف و ۴ ب قابل مشاهده است. چنان‌که مشاهده می‌شود در هر دو حالت، نارضایتی حرارتی ناشی از تابش نامتقارن کمتر از ۵٪ است که این میزان طبق استانداردهای آسیش حرارتی قابل قبول تلقی می‌شود.^[۱۹] نتیجه دیگری که از شکل‌های ۴ الف و ۴ ب می‌توان گرفت این است که طراحی انجام شده با اعمال همزمان قبود دقت و یکنواختی حل، نسبت به



شکل ۳. تغییرات دقت و یکنواختی حل بر حسب پارامتر منظم‌سازی a.

جدول ۲. نتایج مطلوب به دست آمده با قبدهای مختلف.

پارامترهای طراحی	دماهای طراحی به دست آمده از روش معکوس (°C)			شرایط حل							
	دبیت یکنواختی منظم‌سازی (°C)	دبیت قبود (Wm⁻²)	دماهای دیوار دیوار دیوار هوای روبرو پشت چپ راست	دبیت سقف قبود دبیت دیوار دیوار دیوار هوای روبرو پشت چپ راست	دبیت دیوار دیوار دیوار هوای روبرو پشت چپ راست	دبیت دیوار دیوار دیوار هوای روبرو پشت چپ راست	دبیت دیوار دیوار دیوار هوای روبرو پشت چپ راست	دبیت دیوار دیوار دیوار هوای روبرو پشت چپ راست	دبیت دیوار دیوار دیوار هوای روبرو پشت چپ راست	دبیت دیوار دیوار دیوار هوای روبرو پشت چپ راست	
۰,۰۰۳	۵,۶	۴,۴	۲۵,۵ ۱۶ ۲۲,۷ ۱۸,۰ ۲۵,۷ ۳۲,۲ ۲۷,۷	۰,۰۱	۲۴,۵ ۱۳,۵ ۲۱,۱ ۲۲,۰ ۲۸,۶ ۳۲,۱ ۲۹,۰	۰,۰۲	۲۴,۵ ۱۳,۵ ۲۱,۱ ۲۲,۰ ۲۸,۶ ۳۲,۱ ۲۹,۰	۰,۰۳	۲۴,۵ ۱۳,۵ ۲۱,۱ ۲۲,۰ ۲۸,۶ ۳۲,۱ ۲۹,۰	۰,۰۴	۲۴,۵ ۱۳,۵ ۲۱,۱ ۲۲,۰ ۲۸,۶ ۳۲,۱ ۲۹,۰
۱۰ ^{-۶}	۷,۹	۰,۰۶	۲۳,۶ ۲۴,۳ ۳۵,۵ ۱۳,۴ ۱۷,۵ ۳۶,۳ ۲۷,۹	۰,۰۱	۲۴,۵ ۱۳,۵ ۲۱,۱ ۲۲,۰ ۲۸,۶ ۳۲,۱ ۲۹,۰	۰,۰۲	۲۴,۵ ۱۳,۵ ۲۱,۱ ۲۲,۰ ۲۸,۶ ۳۲,۱ ۲۹,۰	۰,۰۳	۲۴,۵ ۱۳,۵ ۲۱,۱ ۲۲,۰ ۲۸,۶ ۳۲,۱ ۲۹,۰	۰,۰۴	۲۴,۵ ۱۳,۵ ۲۱,۱ ۲۲,۰ ۲۸,۶ ۳۲,۱ ۲۹,۰
۰,۰۱	۶,۲	۵,۶	۲۴,۵ ۱۳,۵ ۲۱,۱ ۲۲,۰ ۲۸,۶ ۳۲,۱ ۲۹,۰	۰,۰۱	۲۴,۵ ۱۳,۵ ۲۱,۱ ۲۲,۰ ۲۸,۶ ۳۲,۱ ۲۹,۰	۰,۰۲	۲۴,۵ ۱۳,۵ ۲۱,۱ ۲۲,۰ ۲۸,۶ ۳۲,۱ ۲۹,۰	۰,۰۳	۲۴,۵ ۱۳,۵ ۲۱,۱ ۲۲,۰ ۲۸,۶ ۳۲,۱ ۲۹,۰	۰,۰۴	۲۴,۵ ۱۳,۵ ۲۱,۱ ۲۲,۰ ۲۸,۶ ۳۲,۱ ۲۹,۰



شکل ۶. سهم تابش در هر قسمت بدن برای حل مطلوب.

ب) دوقید دقت و یکنواختی حل.

و جایه جایی) به صورت زیر تعریف شد:

$$R(\%) = \frac{|q_{rad}|}{|q_{rad}| + |q_{conv}|} \times 100 \quad (16)$$

نتایج محاسبه‌ی پارامتر R روی قسمت‌های مختلف بدن برای حل‌های به دست آمده با در نظر گرفتن قید دقت و نیز دو قید دقت و یکنواختی حل، به ترتیب در شکل‌های ۶ الف و ۶ ب نشان داده شده است. چنان‌که مشاهده می‌شود، اگر سطوح اطراف شخص به عنوان پارامتر طراحی لحاظ شود (همانند سیستم‌های گرمایش و سرمایش تابشی)، قسمت عمده‌ی اتفاق حرارت از همه‌ی بخش‌های بدن با سازوکار تابش خواهد بود. این امر توسط محققین دیگری نیز گزارش شده است^[۲]. اما استفاده از این حقیقت می‌تواند در طراحی سیستم‌های گرمایش و سرمایش تابشی به طراحان کمک کند.

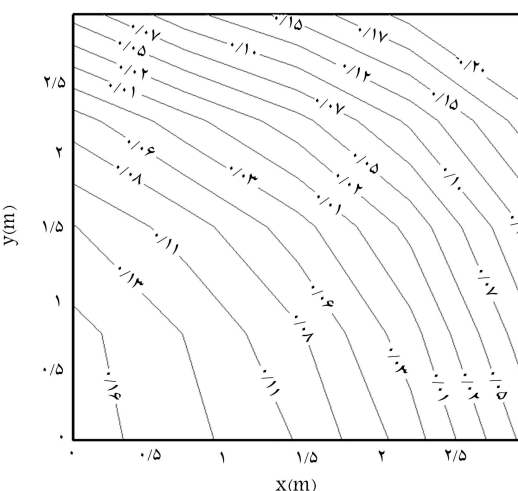
طراحی انجام شده با اعمال قید دقت به تهابی، تابش نامتقارن کمتری ایجاد می‌کند. از طرف دیگر اعمال قید یکنواختی حل باعث کاهش دقت حل می‌شود؛ بدین‌منظور و برای ارائه‌ی حلی که هر سه قید دقت، یکنواختی و کمترین نامتقارن از سقف گرم را ارضاء کند، تابش نامتقارن بحرانی از سقف گرم به عنوان یک قید اضافی بر دسته جواب‌های به دست آمده با قیود دقت و یکنواختی اعمال شد و جوابی مطلوب براساس ارضاء کرد ذکر شده به دست آمد (جدول ۲). توزیع تابش نامتقارن از سقف گرم برای حل ارائه شده براساس ارضاء هم‌زمان سه قید دقت، یکنواختی و کمترین تابش نامتقارن از سقف گرم در شکل ۴ ج آمده است. چنان‌که مشاهده می‌شود، تابش نامتقارن از سقف گرم در این حالت نسبت به شکل‌های ۴ الف و ۴ ب به میزان قابل توجهی کمتر است.

۳. توزیع شاخص احساس حرارتی افراد در نقاط مختلف اتاق

چنان‌که پیش‌تر گفته شد، در تحقیق حاضر حل معکوس برقراری شرایط حرارتی مطلوب و احساس حرارتی خشی ($PMV=0$) برای شخص مستقر در وسط اتاق انجام گرفت. اما برای طراحی یک فضای مطلوب به لحاظ حرارتی، باید در تمام نقاط این فضای احساس حرارتی افراد در محدوده‌ی مجاز قرار داشته باشد. برای بررسی این امر، توزیع شاخص احساس حرارتی افراد (PMV) در نقاط مختلف اتاق براساس نتایج حاصل از حل معکوس مورد توجه قرار گرفت. طبق استانداردهای تهویه مطبوع، $PMV=0$ بیان‌گر احساس حرارتی خشی است و محدوده‌ی مجاز برای طراحی حرارتی فضاهای مسکونی و اداری این است که شاخص PMV بین مقادیر $-0.5 / 0.5$ تا $0 / 0.5$ قرار داشته باشد.^[۱۰, ۱۱] در شکل ۵ توزیع شاخص احساس حرارتی به ازای استقرار افراد در نقاط مختلف اتاق نشان داده شده است. مشاهده می‌شود که اگرچه طراحی برای شخص مستقر در وسط اتاق انجام گرفته، مقدار شاخص احساس حرارتی افراد در تمام نقاط اتاق از محدوده‌ی مجاز فراتر نمی‌رود.

۴. سهم انتقال حرارت تابشی در هر قسمت بدن

در انتهای، به منظور توصیف حل به دست آمده، سهم هر کدام از سازوکارهای انتقال حرارت روی قسمت‌های مختلف بدن محاسبه می‌شود. برای این منظور پارامتر R به صورت درصد سهم اتفاق تابشی از هر قسمت بدن به کل اتفاق حرارت (تابشی



شکل ۵. توزیع شاخص احساس حرارتی افراد (PMV) به ازای استقرار فرد در نقاط مختلف اتاق.

نتیجه‌گیری
طراحی حرارتی یک اتاق مسکونی (محاسبه‌ی دمای دیوارها و دمای هوا) به منظور رسیدن به شرایط مطلوب حرارتی از پیش تعیین شده روی بدن انسان، با روش معکوس انجام شد. به دلیل استفاده از روش منظم‌سازی تیخونوف، یک دسته جواب برای مسئله به دست آمده که همگی آنها شرایط حرارتی ذکر شده روی بدن شخص را با حاشیه دقت تعريف شده ارضاء می‌کنند. دسته جواب‌های به دست آمده از نظر دقت، یکنواختی و تابش نامتقارن مورد بررسی قرار گرفته و در نهایت از میان آنها سه دسته جواب براساس قیدهای دقت، یکنواختی حل و کمترین تابش نامتقارن از سقف گرم انتخاب شدند. نتایج حاکی از آن است که با استفاده از قید یکنواختی $= 7^{\circ}\text{C}$ در طراحی حرارتی فضاهای مسکونی به روش معکوس، نارضایتی ناشی از پدیده‌ی تابش نامتقارن ناچیز است. همچنین انجام طراحی برمنای ایجاد شرایط مطلوب حرارتی برای شخص نشسته در وسط اتاق، می‌تواند معیار مناسبی برای طراحی حرارتی فضای مسکونی به روش معکوس محسوب شود. زیرا در این شرایط احساس حرارتی برای افراد مستقر در سرتاسر فضای اتاق در محدوده‌ی مجاز طراحی ($0.5 < PMV < 0.5$) باقی خواهد ماند. در نهایت می‌توان چنین نتیجه گرفت که طراحی حرارتی مجیط‌های مسکونی به روش معکوس، بدون نیاز به فرایند حدس و خطأ، منجر به دسته جواب‌هایی می‌شود که ضمن برقراری شرایط آسایش حرارتی در سرتاسر فضا، مشکلاتی از قبیل پدیده‌ی تابش نامتقارن در آن دیده نمی‌شود. از آنجا که روش به کار گرفته شده در تحقیق حاضر نوعی طراحی حرارتی

- $P MV$: میانگین رأی افراد (شاخص احساس حرارتی افراد)
- q : شار حرارت (W/m^2)
- R_t : مقاومت حرارتی کلی پوشش افراد ($m^3 K/W$)
- S : مساحت (m^2)
- T : دمای مطلق (K)
- \bar{T}_r : دمای متوسط تابش (C°)
- W : نرخ کار (W/m^2)

محیط بر مبنای «طراحی سطوح داخلی ۲°» محسوب می‌شود، پس از دست‌یابی به طرحی که شرایط مطلوب حرارتی را برای ساکنان فضای مسکونی ایجاد می‌کند، طراح می‌تواند با توجه به شرایط خارجی آتاق، عواملی همچون میزان عایق‌بندی و جنس جداره‌های ساختمان و همین‌طور بار سیستم سرمایشی یا گرمایشی را به نحو مقتصدی طراحی کند.

فهرست علائم

A: ماتریس ضوابط دستگاه معادلات

A : تابعه داده، ماتریس،

b: «دانشگاه معادلات

B_{ij} : ضریب جذب گبهارت سطح i به سطح j

E: مردار حواب دستگاه معادلات

F_{ij} : ضریب شکل شعشعی سطح i به سطح j

ضریب انتقال حرارت حابه حابه (W/m^2K)

h_r : ضریب انتقال حرارت تابشی (W/m²K)

L: عملگر گستاخ مشتق مرتبه یک

یادوگار

1. thermal comfort
 2. Ill-posed
 3. inverse modeling
 4. well-posed
 5. tikhonov regularization
 6. direct design
 7. thermal sensation
 8. inverse design
 9. ASHRAE
 10. thermal resistance
 11. absorption factors
 12. design surface
 13. no specification
 14. black body emissive power
 15. first-order tikhonov regularization method
 16. asymmetric radiation
 17. percentage of dissatisfied
 18. plane radiant temperature
 19. radiant temperature asymmetry
 20. internal surface design

مراجع

1. Watson, R.D., and Chapman, K.S., *Radiant Heating and Cooling Handbook*, McGraw-Hill, New York (2001).
 2. Banhidi, L.J., *Radiant Heating Systems-Design and Applications*, Pergamon Press, Oxford (1991).

3. Leduc, G.; Monchoux, F., and Thellier, F., "Inverse thermal design in human thermal environment", *International Journal of Heat and Mass Transfer*, **47**, pp. 3291-3300 (2004).
 4. Thellier, F.; Corider, A., and Monchoux, F., "The analysis of thermal comfort requirements through the simulation of an occupied building", *Ergonomics*, **37**(5), pp. 817-825 (1994).
 5. Hansen, P.C., *Rank-Deficient and Discrete Ill-Posed Problems, Numerical Aspects of Linear Inversion*, SIAM, Philadelphia (1998).
 6. Harutunian, V.; Morales, J.C., and Howell, J.R., "Radiation exchange within an enclosure of diffuse-gray surfaces: The inverse problem", *National Heat Transfer Conference*, ASME (1995).
 7. Sarvari, S.M.H.; Mansouri, S.H., and Howell, J.R., "Inverse design of three-dimensional enclosures with transparent and absorbing-emitting media using an optimization technique", *Int. Comm. Heat Mass Transfer*, **30**, pp. 149-162 (2003).
 8. Pourshaghagh, A.; Pooladvand, K.; Kowsary, F., and Karimi-zand, K., "An inverse radiation boundary design problem for an enclosure filled with an emitting, absorbing, and scattering media", *Int. Comm. Heat Mass Transfer*, **33**, pp. 800-810 (2006).
 9. Daun, K.J., and Howell, J.R., "Inverse design methods for radiative transfer systems". *Journal of Quantitative Spectroscopy and Radiative Transfer*, **80**, pp. 111-125 (2003).

- tive Spectroscopy and Radiative Transfer*, **93**, pp. 43-60 (2005).
10. Sorensen, D.N., "Radiation between segments of the seated human body", *The 8th International Conference on Air Distribution in Rooms*, Copenhagen, Denmark (2002).
 11. ASHRAE, ASHRAE Handbook fundamentals, American Society of Heating, Refrigerating, and Air-conditioning Engineers Inc., Atlanta (2001).
 12. Sorensen, D.N., and Voigt, L.K., "Modeling flow and heat transfer around a seated human body by computational fluid dynamics", *Building and Environment*, **38**, pp. 753-762 (2003).
 13. Gebhart, B., *Heat transfer*, McGraw-Hill, New York (1971).
 14. Seigel, R., and Howell, J.R., *Thermal Radiation Heat Transfer*, Fourth Edition, Taylor and Francis, New York (2002).
 15. Howell, J.R.; Ezekoye, O.A., and Morales, J.C., "Inverse design model for radiative heat transfer", *Journal of Heat Transfer*, **122**, pp. 492-502 (2000).
 16. Daun, K.; Franca, F.; Larsen, M., and Howell, J.R., "Comparison of methods for inverse design of radiant enclosures", *Journal of Heat Transfer*, **128**, pp. 269-282 (2006).
 17. Awbi, H.B., *Ventilation of Buildings*, E & FN Spon, New York (1998).
 18. Fanger, P.O.; Ipsen, B.M.; Langkilde, G.; Olesen, B.W.; Christensen, N.K., and Tanabe, S., "Comfort limits for asymmetric thermal radiation", *Energy and Buildings*, **8**, pp. 225-236 (1985).
 19. ISO 7730, Moderate thermal environments-Determination of the PMV and PPD indices and specification of conditions for thermal comfort, International Standards Organization, Geneva (1984).
 20. Fanger, P.O.; Banhidi, L.; Olesen, B.W., and Langkilde, G., "Comfort limits for heated ceilings", *ASHRAE Trans*, **86**(2), pp. 141-156 (1980).
 21. Fanger, P.O., *Thermal Comfort Analysis and Application in Environmental Engineering*, McGraw-Hill, New York (1970).